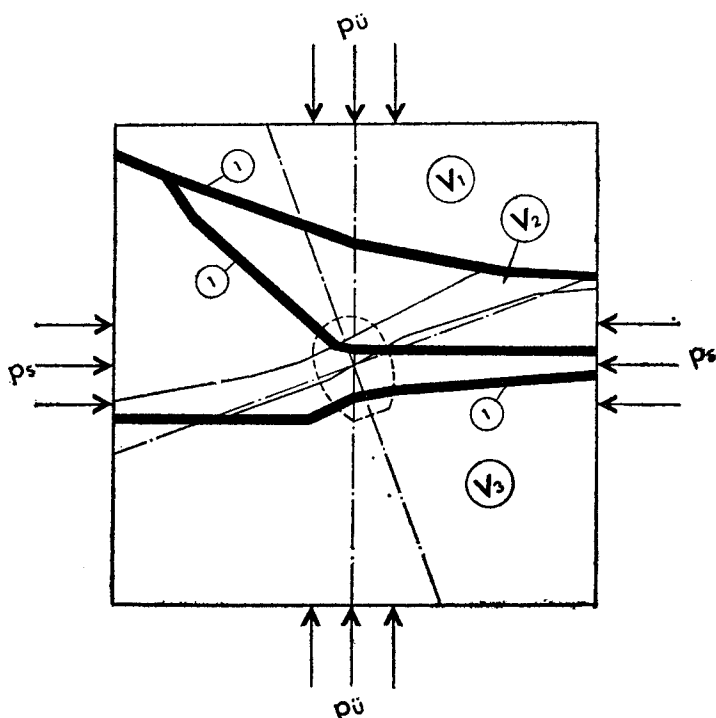
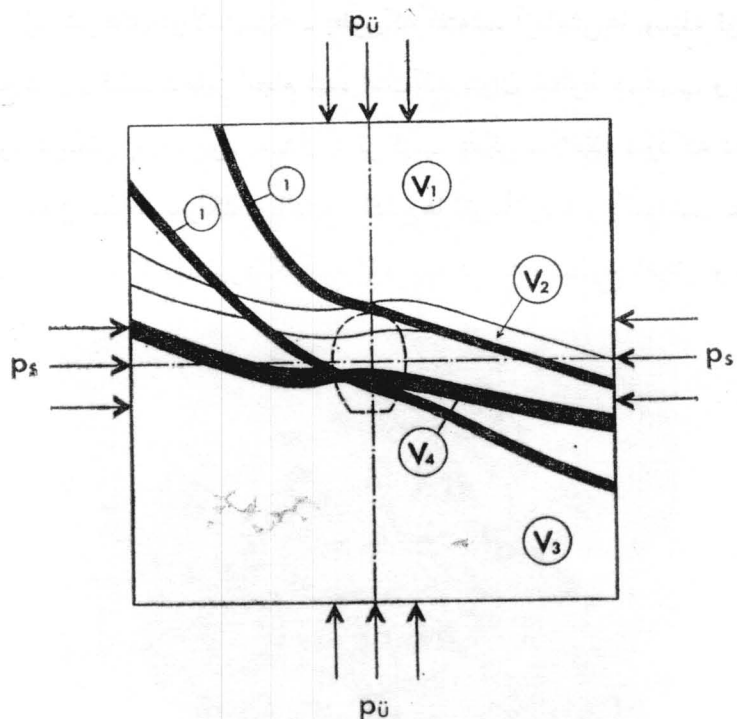


(شکل ۱۲)

هرمودل اصلی بمقیاس $\frac{1}{100}$ برای یک منشور نازک مربع القاعده کوهستان و دهليز بابعاد ۴۰ متر \times ۴۰ متر تهیه شده است بنابراین اندازه آنها ۴۰ سانتیمتر در ۴۰ سانتیمترخواهد شد جنس مدل از یک نوع پلاستیک شفاف بنام (ارالدیت) (Araldite) انتخاب شده است. بعلاوه با توجه به آزمایش های انجام شده نسبت ضریب مقاومت ۷۰ انواع مختلف توده های سنگی کوهستان موردنظر از ۰.۵ ر. الی ۰.۶۷ منظور گردیده است که مبنای انتخاب جنس لایه ها و قسمت های مختلف مدل میباشد که باید دارای همان نسبت مقاومت باشند.

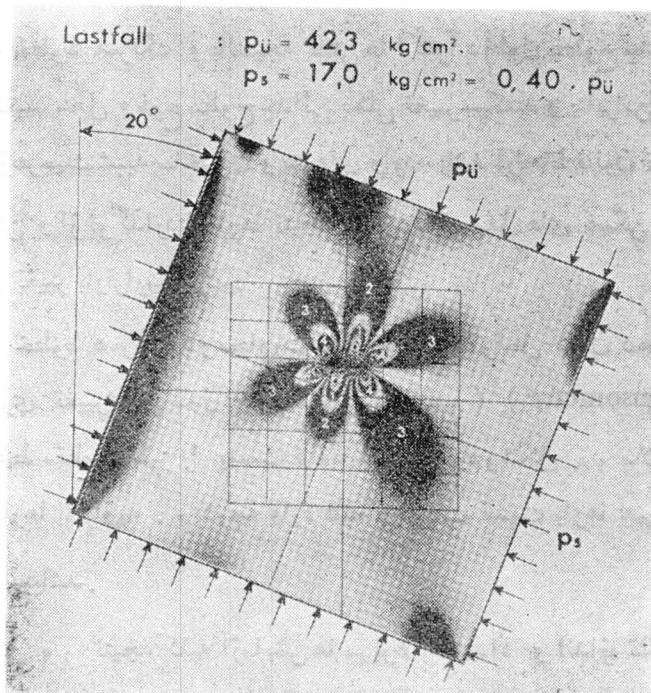


(شکل ۱۴)



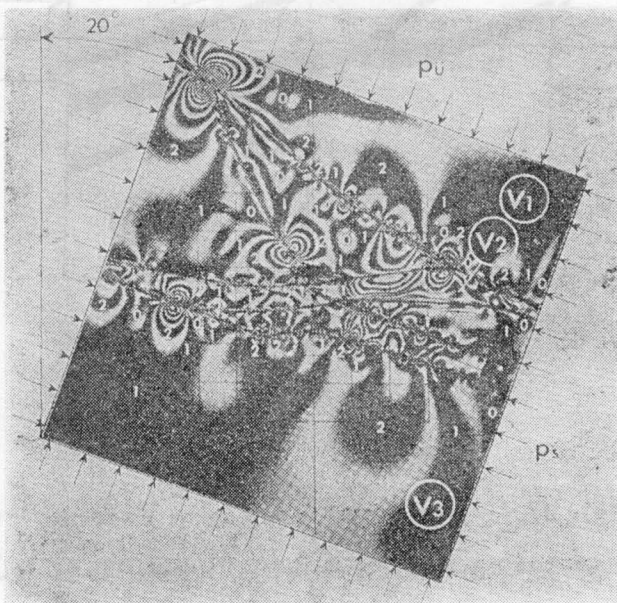
(شکل ۱۵)

بارگزاری مدل‌ها در جهت قائم ۴ کیلوگرم در سانتیمتر مربع و درجهت افقی ۷ کیلوگرم در سانتیمتر مربع و نسبت آن‌ها ۰.۴۰. میباشد زاویه بارگزاری با محور دهليز هم با توجه به زاويه فشارکوه ۲۰ درجه است.



(شکل ۱۶)

۴ - نتیجه آزمایش های فتوالاستیسیته - بطوریکه گفته شد آزمایش ها بوسیله نور پولاریزه سطحی و دائری هردو با مقطع های مختلف دهلیز انجام شده است که بتوان خطوط هم شیب و همنگ را جدا گانه ملاحظه و بررسی نمود در شکل ۱۶ مربوط به مدل با ترکیب همگن ملاحظه شود که در اطراف محیط مقطع یکی از مراحل کنندن دهلیز خطوط همنگ و بالنتیجه تنش ها تقریباً قرینه و یکنواخت هستند ولی بر عکس در شکل ۱۷ مربوط به مدل با ترکیب غیر همگن که از منطقه دهلیز با سطوح لغزش و بریدگی ها تهیه شده



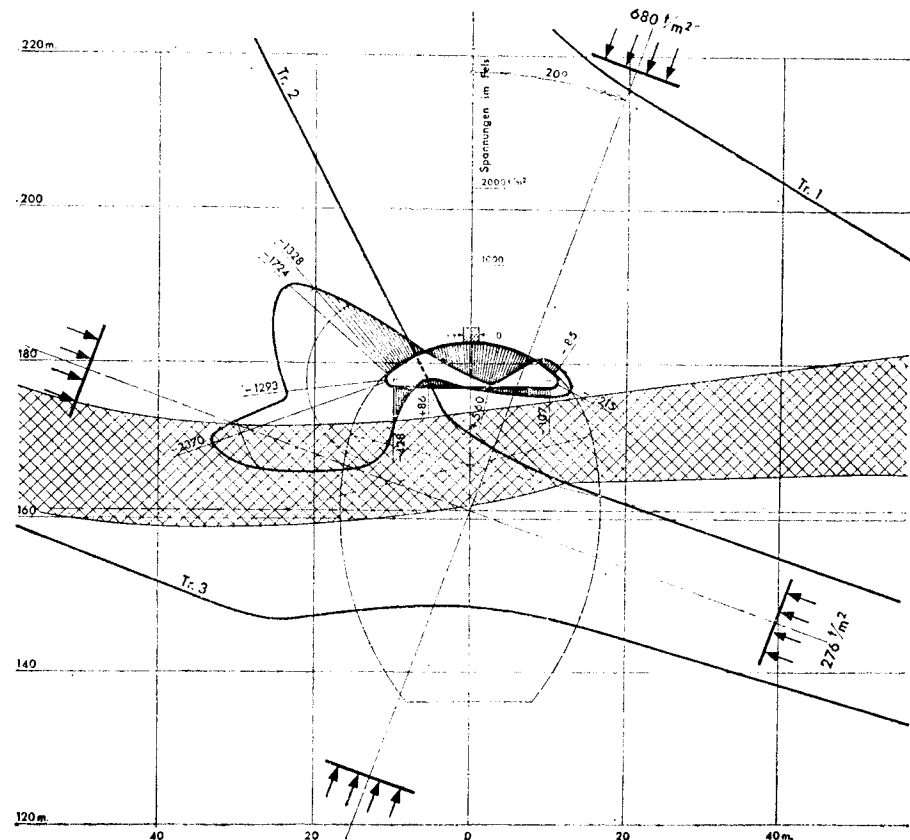
(شکل ۱۷)

است ملاحظه می شود که خطوط همنگ و بالنتیجه تنش ها اکثراً در طول سطوح جدائی و بریدگی متوجه کرده اند و این تنش ها با تغییر محل و نوع سطوح جدائی بکلی تغییر می کنند و بنابراین توجه به عنصر ترکیب کننده مدل ها که باید از هر حیث شبیه ساختمان و بارهای واردہ باشد از لحاظ قانون تشابه بسیار مهم می باشد. ضمناً با برداشتن و از نو گذاردن بارها نتیجه می گردد که مدل های همگن خیلی کمتر از مدل های غیر همگن تحت تأثیر این تغییر بار قرار می گیرند.

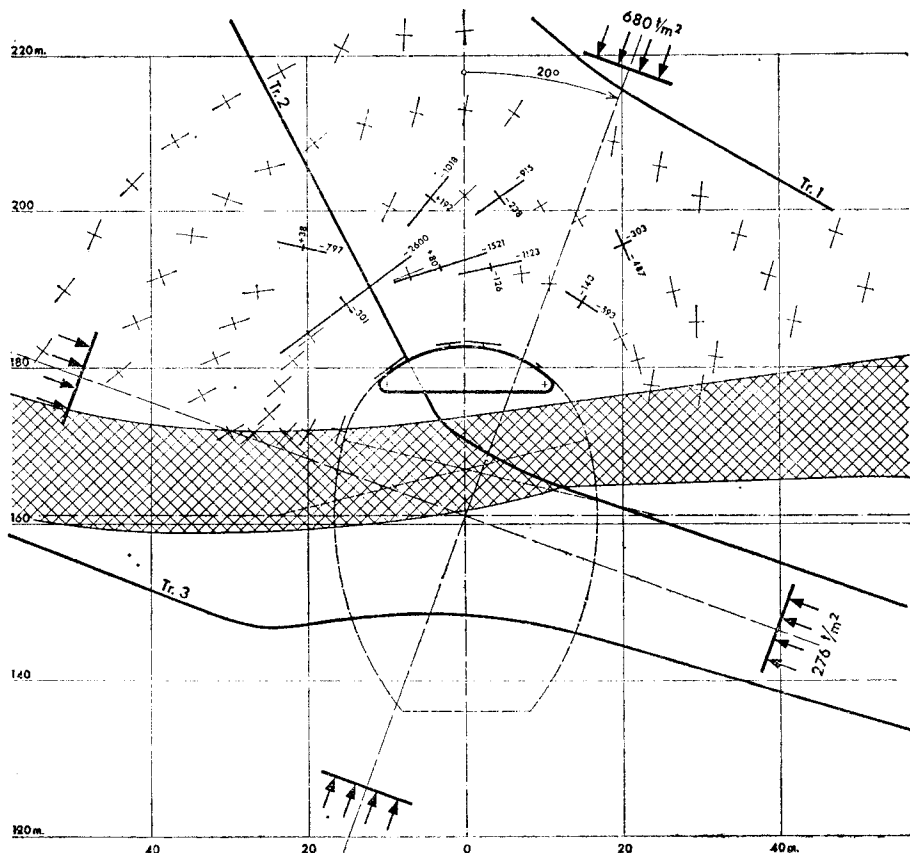
مطالعه کامل خطوط همنگ در مجاورت مقطع یکی از مراحل کنندن دهلیز شکل ۱۷ و محاسبه تنش ها بوسیله اندازه گیری تغییر شکل مدل به کمک (کشن سنچ) (Extensometre) جهت و اندازه تنش های مماس به محیط مقطع دهلیز را بدست داده است که در شکل ۱۸، ملاحظه می شود ضمناً دیده می شود که در این مدل بارها با زاویه ۲۰ درجه وارد شده و ضریب نسبت بارها هم برابر:

$$\frac{276 \text{ تن}}{680} = 4 \text{ رو. میباشد.}$$

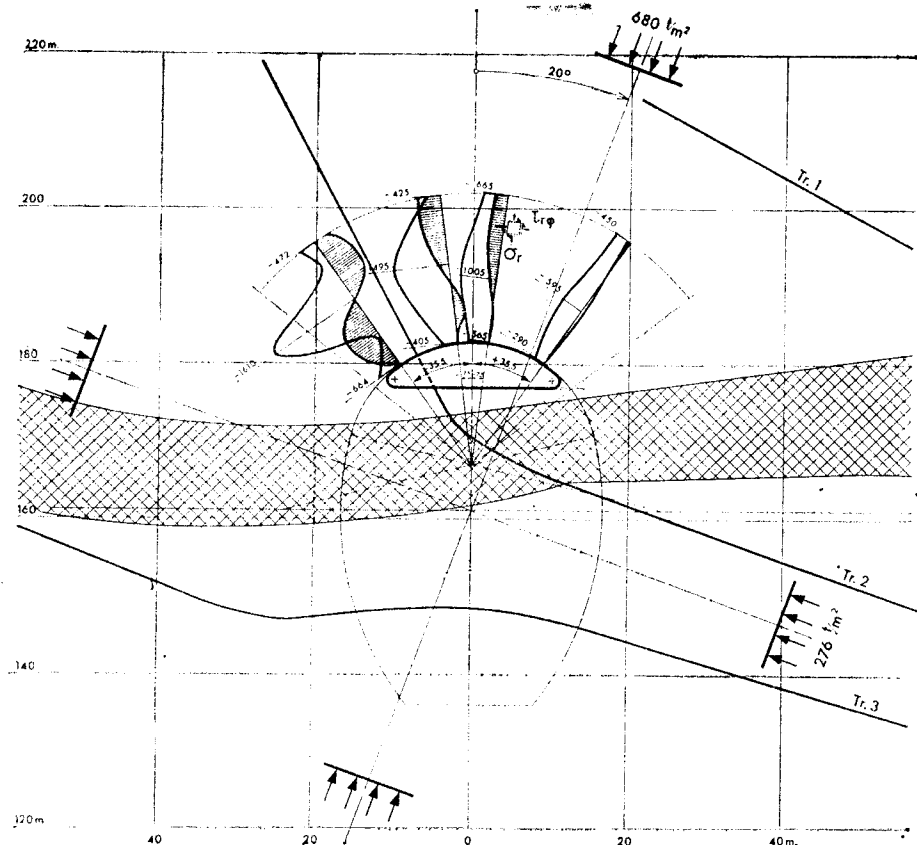
بعلاوه در شکل ۱۹ نتیجه کلیه آزمایش ها مربوط به امتداد و اندازه تنش های اصلی در اطراف دهلیز که با استفاده از خطوط هم شیب و همنگ بدست آمده نشان داده شده است. همچنین محاسبه



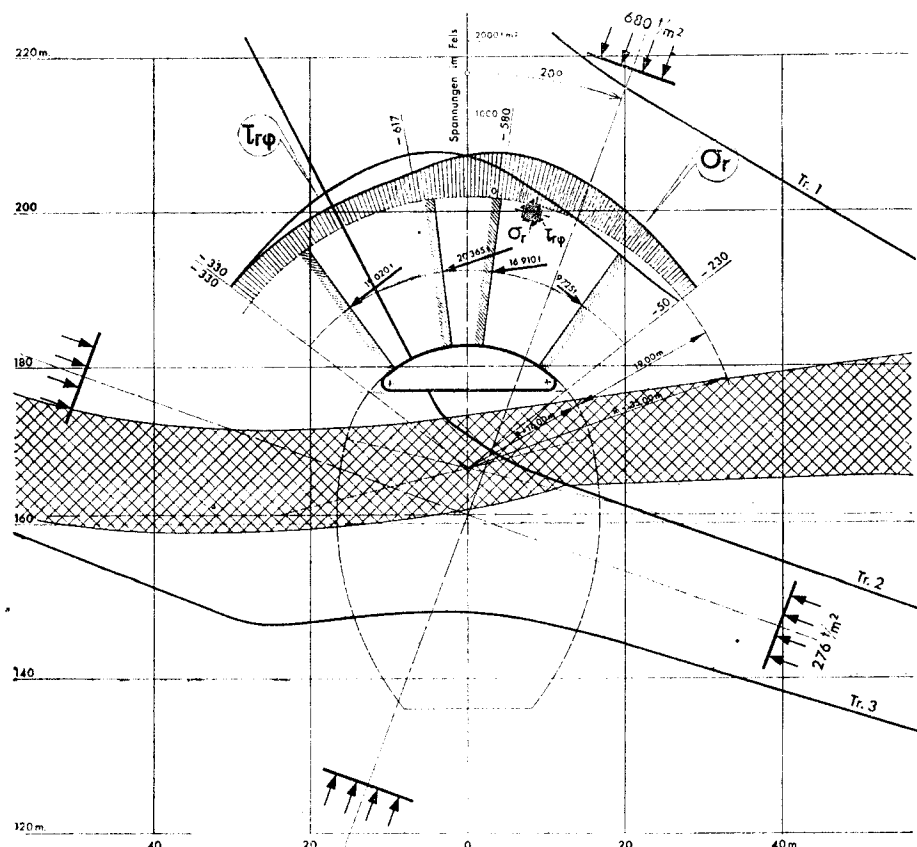
(١٨) (شكل)



(١٩) (شكل)

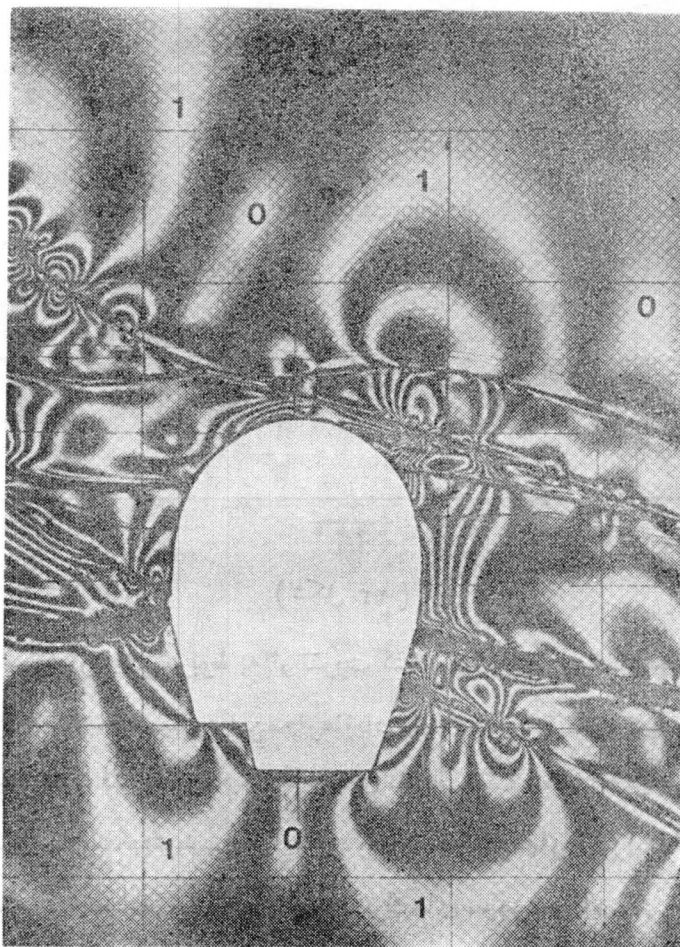


(٢٠) شكل



(٢١) شكل

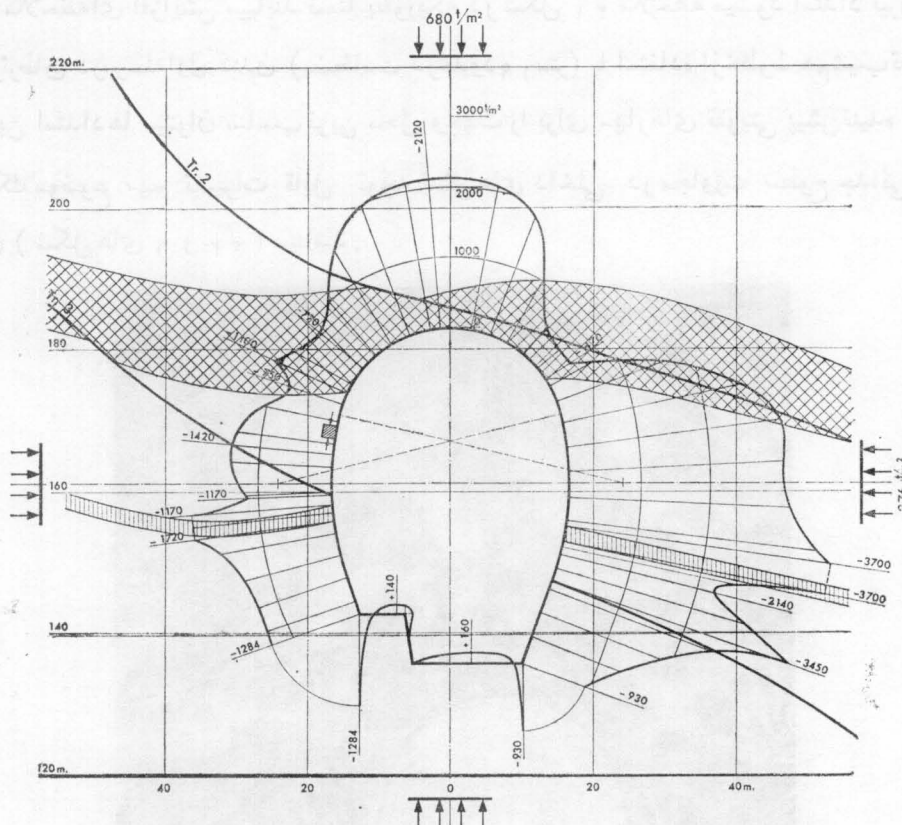
تنشی های قائم و برشی سقف دهلیز که با استفاده از خطوط همنگ و هم شیب مدل مربوطه بدست آمده و در شکل ۲ نشان داده شده است وضع این تنشی ها را بخوبی روشن می سازد و می بینیم که تغییرات این تنشی ها به وجوده خطی و یکنواخت نبوده و بعلاوه بتدریج که به سطح جدائی (T_r) نزدیک می شویم این تنشی ها بمقدار قابل ملاحظه ای افزایش می بندند ضمناً بطوریکه در شکل ۱ ملاحظه می شود امتداد نیروهای داخلی در قسمت مؤثر طاق در مرحله اول کنندن (بضم خامت در حدود ۹۱ متر) با استفاده از خطوط هم شیب تعیین شده است و به کمک این امتدادها میتوان مناسب ترین محل وجهت را برای مهارهای تقویتی پیش تنبیه تعیین نمود. یک موضوع مهم تغییرات قابل توجه تنشی های داخلی در مجاورت سطوح جدائی در دو حالت مختلف مدل (شکل های ۶ و ۲۲) میباشد.



(شکل ۲۲)

که در اولی خطوط همنگ مربوط به مدل بدون کندگی دهلیز و در دوی خطوط همنگ مربوط به مدل با کندگی دهلیز میباشد و بطوریکه می بینیم در حالت اول تنشی ها در اطراف سطوح جدائی قرار دارند ولی در حالت دوم تماماً متوجه محیط مقطع کندگی شده اند و بعبارت دیگر اثر کندگی از لحاظ ایجاد تنش زیادتر از اثر سطوح جدائی میباشد.

نتیجه محاسبه این تنش های ناشی از کندن دهلیز در دیاگرام شکل ۳ نشان داده شده است و وضع قراردادن مهارهای تقویتی پیش تنبیه هم در روی همین دیاگرام مشخص گشته است که عموماً عمود به خطوط هم شیب میباشد که بوسیله آزمایش مدل با نور پولاریزه سطحی بدست آمده است.



(۲۳ شکل)

آخرین مدل مورد آزمایش مربوط به اثر تقویت کننده مهارهای پیش‌تنیده است که در شکل ۴ نشان داده شده و بطوریکه ملاحظه می‌شود این مهارها زیاد وضع تنفس هارا تغییر نمیدهند زیرا در حقیقت عمل اصلی مهارهای تقویتی پیش‌تنیده فشردن و دوختن لایه‌های مختلف سقف دهلیزی کردیگر می‌باشد که در نتیجه آن یک حالت تعادل جدید با مقاومت بهتر بدست می‌آید و در صورتیکه این مهارها در امتدادهای مناسب بطوریکه قبله گفته شد قرارداده شود وضع عمومی سقف با وجود ترک‌های موجود و ناهمگنی و سطوح لغزنده به‌حالت یک محیط نیم ارتجاعی درمی‌آید که با حالت ارتجاعی کامل زیاد تفاوت ندارد.

معدلک پاید توجه داشت که قراردادن مهارهای بزرگ پیش‌تنیده در داخل طاق دهایز مخصوصاً قراردادن پشت بندها و گیره‌ها که مانع از حرکت مهار می‌شود در داخل سقف ایجاد نقاط ضعیف جدیدی مینماید که باشد آن‌هارا به کمک بتون پرتابی پرکرد و کاهش مقاومت را چبران نمود. بدیهی است این مهارها علاوه بر افزایش مقاومت عمومی سقف مقطع وایجاد یک محیط نیم ارتیگاری

مانع از لغزش سطوح جدائی نسبت بیکدیگر نیز خواهند شد و این نتیجه مستقیماً از مدل شکل ۲۴ که دارای سطح جدائی است استنباط میگردد زیرا بطوریکه ملاحظه میشود در اطراف مهارها هیچ نوع تنشن ناشی از سطح جدائی که در مدل های قبل و بدون مهار وجود داشت ملاحظه نمیگردد.



(شکل ۲۴)

درخاتمه لازم است از آقای پروفسور رشر استاد دانشکده فنی وین که نتیجه مطالعات و پژوهش های ارزنده خود و همکاران را در اختیار نگارنده گذارده اند صمیمانه سپاسگذاری نمایم و امید است که با تجهیز یک آزمایشگاه فتوالاستیسیته « یاتنشن یابی نوری » دانشکده فنی بتواند در این رشته از دانش که برای پژوهش انواع ساختمان های عظیم زیرزمی و از جمله متروی شهر تهران ضرورت دارد گام بزرگی پردازد.